

УДК 532.527.2.013.4 : 517.91

© 2002 г. В.В. КОЛЕСОВ, А.Г. ХОПЕРСКИЙ

**ПРОСТЕЙШИЕ РЕЖИМЫ ДВИЖЕНИЯ ЖИДКОСТИ  
ВБЛИЗИ ПЕРЕСЕЧЕНИЯ БИФУРКАЦИЙ  
ВОЗНИКНОВЕНИЯ НЕИЗОТЕРМИЧЕСКИХ ВИХРЕЙ  
ТЕЙЛОРА И АЗИМУТАЛЬНЫХ ВОЛН**

Исследуются стационарные, автоколебательные и двухчастотные квазипериодические режимы движения жидкости между нагретыми вращающимися цилиндрами в малой окрестности точки пересечения нейтральных кривых монотонной вращательно-симметричной и колебательной трехмерной потери устойчивости неизотермического течения Куэтта [1]. Применяется методика работ [2–4], позволяющая свести дело к исследованию автономной динамической системы четвертого порядка, коэффициенты которой находятся путем численного интегрирования серии линейных краевых задач для систем обыкновенных дифференциальных уравнений.

**1. Постановка задачи.** Пусть вязкая теплопроводная жидкость заполняет полость между двумя твердыми бесконечными концентрическими цилиндрами с радиусами  $R_1$ ,  $R_2$  ( $R_1 < R_2$ ). Угловые скорости и температуры внутреннего и внешнего цилиндров обозначим соответственно  $\Omega_1$ ,  $\Theta_1$  и  $\Omega_2$ ,  $\Theta_2$ .

Предположим, что внешние массовые силы отсутствуют. За масштабы длины, скорости, времени, температуры и плотности примем соответственно  $R_1$ ,  $\Omega_1 R_1$ ,  $1/\Omega_1$ ,  $\Theta_1$  и плотность жидкости при температуре  $\Theta_1$ .

В цилиндрических координатах  $r$ ,  $\varphi$ ,  $z$  (ось  $z$  направлена вдоль оси цилиндров) безразмерные уравнения Навье – Стокса, теплопроводности, неразрывности и состояния имеют вид [5]

$$\begin{aligned} \frac{\partial v'_r}{\partial t} + (\mathbf{V}', \nabla) v'_r - \frac{v'^2_\varphi}{r} + \frac{1}{\rho'} \frac{\partial \Pi'}{\partial r} &= \frac{1}{\lambda} \left( \Delta v'_r - \frac{v'_r}{r^2} - \frac{2}{r^2} \frac{\partial v'_\varphi}{\partial \varphi} \right) \\ \frac{\partial v'_\varphi}{\partial t} + (\mathbf{V}', \nabla) v'_\varphi + \frac{v'_r v'_\varphi}{r} + \frac{1}{r \rho'} \frac{\partial \Pi'}{\partial \varphi} &= \frac{1}{\lambda} \left( \Delta v'_\varphi - \frac{v'_\varphi}{r^2} + \frac{2}{r^2} \frac{\partial v'_r}{\partial \varphi} \right) \\ \frac{\partial v'_z}{\partial t} + (\mathbf{V}', \nabla) v'_z + \frac{1}{\rho'} \frac{\partial \Pi'}{\partial z} &= \frac{1}{\lambda} \Delta v'_z, \quad \frac{\partial \rho'}{\partial t} + \operatorname{div}(\rho' \mathbf{V}') = 0 \\ \frac{\partial T'}{\partial t} + (\mathbf{V}', \nabla) T' &= \frac{1}{\lambda P r} \Delta T', \quad \rho' = 1 - \gamma \Theta_1 (T' - 1) \\ \Delta &= \frac{\partial^2}{\partial r^2} + \frac{1}{r} \frac{\partial}{\partial r} + \frac{1}{r^2} \frac{\partial^2}{\partial \varphi^2} + \frac{\partial^2}{\partial z^2}, \quad \nabla = \left\{ \frac{\partial}{\partial r}, \frac{1}{r} \frac{\partial}{\partial \varphi}, \frac{\partial}{\partial z} \right\} \end{aligned} \quad (1.1)$$

Здесь  $\mathbf{V}' = \{v'_r, v'_\varphi, v'_z\}$  – вектор скорости,  $T'$  – температура,  $\Pi'$  – давление,  $\rho'$  – плотность жидкости,  $t$  – время,  $\lambda = \Omega_1 R_1^2 / \nu$  – число Рейнольдса,  $P r = \nu / \chi$  – число Прандтля,

$\nu$ ,  $\chi$  и  $\gamma$  – соответственно коэффициенты кинематической вязкости, температуропроводности и теплового расширения.

Коэффициенты  $\nu$ ,  $\chi$  и  $\gamma$  будем считать постоянными, что требует известной осторожности в применении результатов данной работы к описанию явлений, которые происходят в реальных физических жидкостях. Так, пренебрежение зависимостью вязкости от температуры для некоторых жидкостей (например, для определенных растворов глицерина в воде) может привести к качественно неверным выводам о влиянии температурных градиентов на устойчивость основного стационарного течения [6].

Уравнения (1.1) рассматриваются при условии

$$\int_0^{2\pi} \int_1^{R_2/R_1} \rho' v_z' r dr d\varphi = 0 \quad (1.2)$$

обеспечивающим отсутствие расхода жидкости через поперечное сечение полости цилиндров, а также при краевых условиях

$$v_r' = v_z' = 0, \quad v_\varphi' = 1, \quad T' = 1 \quad (r = 1) \quad (1.3)$$

$$v_r' = v_z' = 0, \quad v_\varphi' = \frac{\Omega_2 R_2}{\Omega_1 R_1}, \quad T' = \frac{\Theta_2}{\Theta_1} \quad \left( r = \frac{R_2}{R_1} \right)$$

Задача (1.1)–(1.3) обладает группой симметрии  $G = SO(2) \times O(2)$  – она инвариантна относительно вращений  $L_\varphi^\delta$  около оси цилиндров на произвольный угол  $\delta$ , сдвигов  $L_z^h$  вдоль этой оси на произвольное расстояние  $h$  и инверсии  $J$  (зеркальной симметрии относительно отражений в плоскости поперечного сечения цилиндров), действующих на вектор-функцию  $\mathbf{F} = \{v_r, v_\varphi, v_z, T\}$  по правилам

$$\begin{aligned} (L_\varphi^\delta \mathbf{F})(t, r, \varphi, z) &= \mathbf{F}(t, r, \varphi + \delta, z) \\ (L_z^h \mathbf{F})(t, r, \varphi, z) &= \mathbf{F}(t, r, \varphi, z + h) \\ (J\mathbf{F})(t, r, \varphi, z) &= \{v_r(t, r, \varphi, -z), v_\varphi(t, r, \varphi, -z), -v_z(t, r, \varphi, -z), T(t, r, \varphi, -z)\} \end{aligned} \quad (1.4)$$

для любых вещественных  $\delta$  и  $h$ .

Задача (1.1)–(1.3) допускает точное решение, которое представляет собой стационарное круговое течение Куэтта с логарифмическим распределением температуры. Оно называется неизотермическим течением Куэтта и имеет вид

$$\begin{aligned} \mathbf{V}_0 &= \{0, v_{0\varphi}(r), 0\}, \quad v_{0\varphi} = ar + \frac{b}{r}, \quad T_0 = c \ln r + 1 \\ \Pi_0 &= \int_1^r \frac{v_{0\varphi}^2(s)}{s} \left( 1 - \frac{Ra}{Pr} \ln s \right) ds + \text{const} \\ a &= \frac{\Omega R^2 - 1}{R^2 - 1}, \quad b = 1 - a, \quad c = \frac{\Theta_2 - \Theta_1}{\Theta_1 \ln R}, \quad R = \frac{R_2}{R_1}, \quad \Omega = \frac{\Omega_2}{\Omega_1} \end{aligned} \quad (1.5)$$

Здесь безразмерный параметр  $Ra = \gamma c \Theta_1 Pr$  – число Рэлея.

С ростом числа Рейнольдса неизотермическое течение Куэтта (1.5) может потерять устойчивость двумя способами [1]. В результате монотонной вращательно-симметричной неустойчивости течения (1.5) возникают неизотермические стационарные вихри Тейлора [7]. Колебательная трехмерная неустойчивость порождает неизотермический автоколебательный режим типа бегущей азимутальной волны [8]. Требуется исследовать режимы, которые возникают в малой окрестности точки пересечения

нейтральных кривых, отвечающих этим двум типам потери устойчивости течения (1.5). Заметим, что неизотермическое течение Куэтта в отличие от изотермического может потерять устойчивость также и с возникновением вращательно-симметричных автоколебаний [9] или плоского вторичного режима [10], но в данной работе соответствующие бифуркации не рассматриваются.

**2. Амплитудная система.** Решение задачи (1.1)–(1.3) будем искать в виде

$$\mathbf{V}' = \mathbf{V}_0 + \mathbf{V}, \quad T' = T_0 + cPrT, \quad \Pi' = \Pi_0 + \Pi/\lambda \quad (2.1)$$

Подставляя (2.1) в (1.1)–(1.3), приходим к следующей задаче для определения возмущений  $\mathbf{V}$ ,  $T$  и  $\Pi$ :

$$\begin{aligned} \frac{\partial v_r}{\partial t} + \omega_1 \frac{\partial v_r}{\partial \varphi} + (\mathbf{V}, \nabla) v_r - \frac{v_\varphi^2}{r} + \frac{1}{\lambda} \frac{\partial \Pi}{\partial r} &= \frac{1}{\lambda} \left( \Delta v_r - \frac{v_r}{r^2} - \frac{2}{r^2} \frac{\partial v_\varphi}{\partial \varphi} \right) + 2\omega_1 v_\varphi - Ra\omega_2 T \\ \frac{\partial v_\varphi}{\partial t} + \omega_1 \frac{\partial v_\varphi}{\partial \varphi} + (\mathbf{V}, \nabla) v_\varphi + \frac{v_r v_\varphi}{r} + \frac{1}{\lambda r} \frac{\partial \Pi}{\partial \varphi} &= \frac{1}{\lambda} \left( \Delta v_\varphi - \frac{v_\varphi}{r^2} + \frac{2}{r^2} \frac{\partial v_r}{\partial \varphi} \right) + g_1 v_r \\ \frac{\partial v_z}{\partial t} + \omega_1 \frac{\partial v_z}{\partial \varphi} + (\mathbf{V}, \nabla) v_z + \frac{1}{\lambda} \frac{\partial \Pi}{\partial z} &= \frac{1}{\lambda} \Delta v_z \\ \frac{\partial T}{\partial t} + \omega_1 \frac{\partial T}{\partial \varphi} + (\mathbf{V}, \nabla) T &= \frac{1}{\lambda Pr} \Delta T - \frac{g_2}{Pr} v_r \end{aligned} \quad (2.2)$$

$$\int_0^{2\pi} \int_1^R v_z r dr d\varphi = 0, \quad \operatorname{div} \mathbf{V} = 0$$

$$v_r = v_\varphi = v_z = T = 0 \quad (r = 1, R)$$

$$\omega_1 = \frac{v_{0\varphi}}{r} = a + \frac{b}{r^2}, \quad g_1 = -\left( \frac{d}{dr} + \frac{1}{r} \right) v_{0\varphi} = -2a$$

$$\omega_2 = \omega_1^2 r, \quad g_2 = 1/r$$

Задача (2.2) записана в приближении Буссинеска ( $\gamma\Theta_1 \ll 1$ , [5]). Анализ его применимости для исследования линейной устойчивости неизотермического течения Куэтта выполнен в [11].

Будем предполагать далее, что возмущения  $\mathbf{V}$ ,  $T$  и  $\Pi$  периодичны в аксиальном и азимутальном направлениях с заданными периодами соответственно  $2\pi/\alpha$  и  $2\pi/m$  ( $m$  – целое число). Тогда устойчивость течения (1.5) зависит от следующих семи безразмерных параметров: чисел Рейнольдса  $\lambda$ , Рэлея  $Ra$  и Прандтля  $Pr$ , отношений радиусов  $R$  и угловых скоростей  $\Omega$  цилиндров, а также аксиального  $\alpha$  и азимутального  $m$  волновых чисел.

Параметры  $Ra$ ,  $Pr$ ,  $R$ ,  $\alpha$  и  $m$  будем далее считать фиксированными. Тогда нейтральные кривые, отделяющие область устойчивости течения (1.5) от области его неустойчивости, представляют собой зависимости критических значений числа Рейнольдса  $\lambda$  от отношения угловых скоростей цилиндров  $\Omega$ .

Пусть  $(\Omega_*, \lambda_*)$  – точка на плоскости параметров  $(\Omega, \lambda)$ , отвечающая пересечению нейтральных кривых монотонной вращательно-симметричной и колебательной трехмерной потери устойчивости течения (1.5). Предположим, что  $\lambda$  близко к  $\lambda_*$ , а  $\Omega$  – к  $\Omega_*$ , так что  $\delta_1 = \lambda - \lambda_*$  и  $\delta_2 = \Omega - \Omega_*$  – малые параметры одного порядка.

Следуя [2-4], будем искать решение нелинейной задачи для возмущений (2.2) в виде

$$\mathbf{F} = \sqrt{|\delta_1|}(\Phi + \Phi^*), \quad \mathbf{P} = \sqrt{|\delta_1|}(P + P^*) \quad (2.3)$$

$$\Phi = \eta_0(\xi)\Phi_0(r, z) + e^{ic_*t}[\eta_1(\xi)\Phi_1(r, \varphi, z) + \eta_2(\xi)\Phi_2(r, \varphi, z)] + \dots$$

$$P = \eta_0(\xi)p_0(r, z) + e^{ic_*t}[\eta_1(\xi)p_1(r, \varphi, z) + \eta_2(\xi)p_2(r, \varphi, z)] + \dots$$

Здесь неизвестные комплексные амплитуды  $\eta_0, \eta_1, \eta_2$  – функции "медленного" времени  $\xi = |\delta_1|t$ ;  $c_*$  – неизвестная циклическая частота (фазовая скорость) нейтральных азимутальных волн;  $\Phi_0, p_0$  – собственное решение линеаризованной задачи устойчивости, соответствующей (2.2), для монотонных вращательно-симметричных возмущений;  $\Phi_1, p_1$  и  $\Phi_2, p_2$  – независимые собственные решения линеаризованной задачи устойчивости для колебательных трехмерных возмущений. При этом вектор  $\Phi_2$  получается инверсией (1.4) из вектора  $\Phi_1$ , так что  $\Phi_2 = J\Phi_1$ . Величины порядков  $\delta_1, \delta_2$  и выше в (2.3) опущены.

Амплитуды  $\eta_0, \eta_1, \eta_2$  удовлетворяют следующей системе с кубическими ведущими нелинейными членами [2-4]:

$$\frac{d\eta_0}{d\xi} = (\sigma + A|\eta_0|^2 + B|\eta_1|^2 + B^*|\eta_2|^2)\eta_0 + D\eta_0^*\eta_1^*\eta_2$$

$$\frac{d\eta_1}{d\xi} = (\mu + P|\eta_0|^2 + Q|\eta_1|^2 + R|\eta_2|^2)\eta_1 + S\eta_0^2\eta_2 \quad (2.4)$$

$$\frac{d\eta_2}{d\xi} = (\mu + P|\eta_0|^2 + R|\eta_1|^2 + Q|\eta_2|^2)\eta_2 + S\eta_0^2\eta_1$$

Амплитудная система (2.4) получена в [2] путем использования техники теории бифуркаций, связанной с применением теоремы о нейтральном многообразии, для широкого класса задач с цилиндрической симметрией. Она является обобщением известного амплитудного уравнения Ландау [5]. Аналогичная амплитудная система, соответствующая пересечению бифуркации возникновения азимутальных волн с различными азимутальными волновыми числами, рассматривается в [12-14].

Коэффициенты системы (2.4) выражаются явно через решения серии линейных краевых задач для систем обыкновенных дифференциальных уравнений с переменными комплексными коэффициентами по формулам, которые приводятся в [3, 4]. При этом коэффициенты  $A, D$  являются вещественными, а  $B, P, Q, R, S$  – комплексными.

Вещественный инкремент  $\sigma$  и комплексный инкремент  $\mu = \mu_r + i\mu_i$ , при заданных  $\delta_1$  и  $\delta_2$  тоже могут быть вычислены. При этом  $\mu_i$  оказывается одного порядка малости с  $\delta_1$  и  $\delta_2$ . Учитывая это, можно считать  $\sigma$  и  $\mu_r$  свободными параметрами.

Знаки параметров  $\sigma$  и  $\mu_r$  определяют положение точки  $(\Omega, \lambda)$ , в которой строятся разложения (2.3), относительно нейтральных кривых монотонной и колебательной потери устойчивости неизотермического течения Куэтта. Если  $\sigma > 0$ , то значения отношения угловых скоростей цилиндров  $\Omega$  и числа Рейнольдса  $\lambda$  таковы, что точка  $(\Omega, \lambda)$  расположена выше нейтральной кривой, соответствующей монотонной потере устойчивости, а если  $\sigma < 0$ , то ниже. Если  $\mu_r > 0$ , то точка  $(\Omega, \lambda)$  расположена выше нейтральной кривой, соответствующей колебательной потере устойчивости, а если  $\mu_r < 0$ , то ниже.

Следуя [2-4], представим комплексные амплитуды  $\eta_0, \eta_1, \eta_2$  в полярной форме  $\eta_0 = \rho_0 e^{i\psi_0}, \quad \eta_1 = \rho_1 e^{i\psi_1}, \quad \eta_2 = \rho_2 e^{i\psi_2}$ . Для модулей амплитуд  $\rho_0, \rho_1, \rho_2$  и фазового

инварианта  $\beta = 2\psi_0 + \psi_1 - \psi_2$  получаем следующую замкнутую систему, которая называется [2] моторной подсистемой амплитудной системы

$$\begin{aligned} \frac{d\rho_0}{d\xi} &= [\sigma + A\rho_0^2 + B_r(\rho_1^2 + \rho_2^2)]\rho_0 + D\rho_0\rho_1\rho_2 \cos\beta \\ \frac{d\rho_1}{d\xi} &= (\mu_r + P_r\rho_0^2 + Q_r\rho_1^2 + R_r\rho_2^2)\rho_1 + (S_r \cos\beta + S_i \sin\beta)\rho_0^2\rho_2 \\ \frac{d\rho_2}{d\xi} &= (\mu_r + P_r\rho_0^2 + R_r\rho_1^2 + Q_r\rho_2^2)\rho_2 + (S_r \cos\beta - S_i \sin\beta)\rho_0^2\rho_1 \\ \frac{d\beta}{d\xi} &= C(\rho_1^2 - \rho_2^2) - 2D\rho_1\rho_2 \sin\beta - [S_i(\rho_1^2 - \rho_2^2) \cos\beta + S_r(\rho_1^2 + \rho_2^2) \sin\beta]\rho_0^2 / \rho_1\rho_2 \\ C &= 2B_i + Q_i - R_i \end{aligned} \quad (2.5)$$

Здесь и далее индекс  $r$  означает вещественную, а  $i$  – мнимую части комплексной величины.

Уравнения для фаз  $\psi_0, \psi_1, \psi_2$  отделяются, поэтому фазовые переменные могут быть найдены из соответствующей системы (она приводится в [4]) простым интегрированием, причем одну из них можно выразить через две другие и  $\beta$ .

Моторная подсистема (2.5) инвариантна относительно преобразования  $\rho_1 \leftrightarrow \rho_2, \beta \rightarrow -\beta$  [4], что является следствием инвариантности задачи (1.1)–(1.3) относительно инверсии  $J$ , определенной в (1.4). Отсюда, в частности, вытекает, что решения системы (2.5) либо являются  $J$ -симметричными (переводятся в себя данным преобразованием), либо образуют  $J$ -связанные пары (переводятся друг в друга).

Таким образом, отыскание режимов, которые возникают в малой окрестности точки  $(\Omega_*, \lambda_*)$  пересечения нейтральных кривых монотонной вращательно-симметричной и колебательной трехмерной потери устойчивости неизотермического течения Куэтта (1.5), сводится к нахождению решений моторной подсистемы (2.5) амплитудной системы (2.4).

**3. Равновесия моторной подсистемы.** Моторная подсистема (2.5) имеет следующие равновесия, лежащие на инвариантных плоскостях [3, 4].

Неизотермическое течение Куэтта

$$\rho_0 = \rho_1 = \rho_2 = 0, \quad \forall\beta \quad (3.1)$$

Этому тривиальному равновесию моторной подсистемы соответствует основной стационарный режим (1.5), в котором компоненты поля скорости, температура и давление зависят лишь от радиальной переменной  $r$ . Частицы жидкости в этом течении двигаются по концентрическим окружностям, центры которых лежат на общей оси цилиндров.

Вихри Тейлора

$$\rho_0^2 = -\sigma/A, \quad \rho_1 = \rho_2 = 0, \quad \forall\beta \quad (3.2)$$

Это – вторичное стационарное вращательно-симметричное течение, в котором компоненты поля скорости, температура и давление зависят лишь от радиальной и аксиальной переменных  $r$  и  $z$ . Это течение  $2\pi/\alpha$  периодически в аксиальном направлении. Оно представляет собой набор тороидальных вихрей, регулярно расположенных вдоль оси цилиндров. Частицы жидкости в этом течении двигаются по спиральям, наматывающимся на торы. Направления вращения частиц в соседних вихрях – противоположные.

Чистые азимутальные волны

$$\rho_0 = 0, \quad \rho_1^2 = \rho_2^2 = -\mu_r/(Q_r + R_r), \quad \forall\beta \quad (3.3)$$

Это – вторичный автоколебательный (периодический по времени) режим, не обладающий свойством вращательной симметрии. Компоненты поля скорости, температура и давление этого течения зависят от радиальной и аксиальной переменных  $r$  и  $z$ , а также от линейной комбинации  $m\phi - ct$  времени  $t$  и азимутальной переменной  $\phi$ . В этом режиме волны с постоянной фазовой скоростью  $c$  распространяются в азимутальном направлении. Это течение периодически по  $z$  и  $\phi$  с периодами соответственно  $2\pi/\alpha$  и  $2\pi/m$ .

Пара спиральных волн

$$\rho_0 = \rho_2 = 0, \quad \rho_1^2 = -\mu_r / Q_r, \quad \forall \beta \quad (3.4)$$

$$\rho_0 = \rho_1 = 0, \quad \rho_2^2 = -\mu_r / Q_r, \quad \forall \beta \quad (3.5)$$

Это – пара вторичных автоколебательных режимов, не обладающих свойством вращательной симметрии. Компоненты поля скорости, температура и давление этих двух течений зависят от  $r$ , а также от линейных комбинаций  $m\phi - ct + \alpha z$  (для одного режима) и  $m\phi - ct - \alpha z$  (для другого режима). В этих режимах волны с постоянной фазовой скоростью  $c$  распространяются по спиральям – в азимутальном и аксиальном направлениях, причем направления движения волн в аксиальном направлении у этих течений противоположные. Эта пара режимов является инверсионно-связанной: преобразование инверсии  $J$  (см. (1.4)) переводит их друг в друга. Эти течения периодичны по  $z$  и  $\phi$  с периодами соответственно  $2\pi/\alpha$  и  $2\pi/m$ .

Пара смешанных азимутальных волн

$$\rho_0^2 = \frac{\Delta_1^+}{\Delta^+}, \quad \rho_1^2 = \rho_2^2 = \frac{\Delta_2^+}{\Delta^+}, \quad \beta = 0 \quad (3.6)$$

$$\rho_0^2 = \frac{\Delta_1^-}{\Delta^-}, \quad \rho_1^2 = \rho_2^2 = \frac{\Delta_2^-}{\Delta^-}, \quad \beta = \pi \quad (3.7)$$

$$\Delta_1^+ = \sigma(Q_r + R_r) - \mu_r(2B_r + D), \quad \Delta_2^+ = \mu_r A - \sigma(P_r + S_r)$$

$$\Delta_1^- = \sigma(Q_r + R_r) - \mu_r(2B_r - D), \quad \Delta_2^- = \mu_r A - \sigma(P_r - S_r)$$

$$\Delta^+ = (2B_r + D)(P_r + S_r) - A(Q_r + R_r)$$

$$\Delta^- = (2B_r - D)(P_r - S_r) - A(Q_r + R_r)$$

Это – пара третичных автоколебательных режимов, не обладающих свойством вращательной симметрии. Они представляют собой нелинейную смесь вихрей Тейлора и чистых азимутальных волн. Компоненты поля скорости, температура и давление этих течений зависят от  $r$  и  $z$ , а также от линейной комбинации  $m\phi - ct$ . В этих режимах волны с постоянной фазовой скоростью распространяются в азимутальном направлении на фоне вихрей Тейлора. Эти течения периодичны по  $z$  и  $\phi$  с периодами соответственно  $2\pi/\alpha$  и  $2\pi/m$ .

Помимо равновесий (3.1)–(3.7) у системы (2.5) могут существовать равновесия, которые не лежат на инвариантных плоскостях, т.е. равновесия общего положения [3, 4]. Они образуют  $J$ -связанные пары. Каждому из них соответствует квазипериодическое двухчастотное решение амплитудной системы (2.4), поскольку интегрирование уравнений для фаз  $\psi_0, \psi_1, \psi_2$  дает, вообще говоря, три частоты, но эти частоты не являются независимыми, так как для равновесия моторной подсистемы фазовый инвариант  $\beta = 2\psi_0 + \psi_1 - \psi_2 = \text{const}$ . В итоге получается, что равновесию общего положения соответствует квазипериодическое двухчастотное решение как амплитудных уравнений (2.4), так и исходных уравнений движения жидкости (1.1)–(1.3).

Для отыскания равновесия общего положения запишем стационарную систему, соответствующую системе (2.5), в виде

$$\begin{aligned} \sigma + A\rho_0^2 + B_r(\rho_1^2 + \rho_2^2) &= -D\rho_1\rho_2 \cos \beta \\ 2S_r \cos \beta &= 2(Q_r - R_r) \frac{\rho_1\rho_2}{\rho_0^2} - \frac{\rho_1^2 + \rho_2^2}{\rho_1\rho_2} x, \quad 2S_i \sin \beta = \frac{\rho_2^2 - \rho_1^2}{\rho_1\rho_2} x \end{aligned} \quad (3.8)$$

$$\left[ (S_r^2 + S_i^2) \frac{\rho_0^2(\rho_1^2 + \rho_2^2)}{\rho_1^2\rho_2^2} + 2S_r D \right] x = 2S_i [S_i(Q_r - R_r) - S_r C]$$

$$x = \frac{1}{\rho_0^2} [\mu_r + P_r \rho_0^2 + Q_r(\rho_1^2 + \rho_2^2)]$$

Исключая в (3.8) переменную  $\beta$  и используя дополнительное уравнение, порожденное основным тригонометрическим тождеством, редуцируем трансцендентную систему (3.8) к алгебраическому уравнению четвертой степени

$$A_4 x^4 + A_3 x^3 + A_2 x^2 + A_1 x + A_0 = 0 \quad (3.9)$$

Коэффициенты  $A_j$  уравнения (3.9) выражаются через коэффициенты амплитудной системы (2.4)

$$A_j = \sigma B_j + \mu_r C_j \quad (j = 0, 1, \dots, 4)$$

$$B_4 = D^2$$

$$B_3 = D[2Q_r S_r + 2S_i C - DP_r]$$

$$B_2 = S_i [S_i (C^2 + R_r^2 - Q_r^2) + 2C(Q_r S_r - DP_r)]$$

$$B_1 = S_i^2 [2DQ_r S_r - P_r (C^2 + (R_r - Q_r)^2)]$$

$$B_0 = 2S_i^3 Q_r [S_r C + S_i (R_r - Q_r)]$$

$$C_4 = D^2, \quad C_3 = D[AD + S_i C - 2B_r S_r - S_r (R_r - Q_r)]$$

$$C_2 = S_i [D(DS_i + 2AC) - 2B_r (S_r C + S_i (R_r - Q_r))]$$

$$C_1 = S_i^2 [A(C^2 + (R_r - Q_r)^2) + D(S_i C - 2B_r S_r - S_r (R_r - Q_r))]$$

$$C_0 = -2S_i^3 B_r [S_r C + S_i (R_r - Q_r)]$$

Введем обозначения

$$y = \frac{\sigma + A\rho_0^2 + B_r(\rho_1^2 + \rho_2^2)}{\rho_1^2 + \rho_2^2}, \quad z = \frac{\rho_0^2(\rho_1^2 + \rho_2^2)}{\rho_1^2\rho_2^2} \quad (3.10)$$

Из первого, второго и четвертого уравнений системы (3.8) получаем тогда соотношения

$$(Dx - 2S_r y)z = 2D(Q_r - R_r) \quad (3.11)$$

$$[(S_r^2 + S_i^2)z + 2S_r D]x = 2S_i [S_i(Q_r - R_r) - S_r C]$$

Когда решение  $x$  уравнения (3.9) найдено, формулы (3.11) позволяют найти значения  $z$  и  $y$ . После этого модули амплитуд  $\rho_0$ ,  $\rho_1$ ,  $\rho_2$  находятся из уравнений (3.10) и последнего уравнения системы (3.8), а фазовый инвариант  $\beta$  – из третьего уравнения этой системы. При этом равновесия моторной подсистемы порождаются лишь такими

Таблица 1

Параметры	$\alpha = 2$	3	4	4	5
$\Omega_*$	-0.4211	-0.4214	-0.4800	-0.6688	-0.8867
$\lambda_*$	127.857	102.134	106.300	146.732	187.330
$c_*$	0.2580	0.2812	0.3056	0.3420	0.3413
$A$	-2634.5	-3785.2	-1841.6	-4919.6	-1088.2
$B_r$	-457.1	-451.5	-311.9	12.4	3549.3
$B_i$	81.1	687.0	225.8	1546.5	9340.1
$D$	543.5	-925.0	445.8	-582.6	1660.8
$P_r$	-1031.1	-1004.3	-1210.3	-4827.9	-21998.9
$P_i$	-74.5	-1560.3	-377.0	1202.4	26586.0
$Q_r$	-194.3	-267.4	-288.5	-2911.8	62982706.5
$Q_i$	-1786.7	-234.4	-216.9	1407.3	57508235.0
$R_r$	-46.5	-2654.5	-450.7	-1850.5	-146708.9
$R_i$	-128.6	2194.2	179.9	9524.0	-874592.9
$S_r$	103.2	-4232.0	-274.2	-4143.6	-113291.8
$S_i$	-346.6	3745.2	314.0	21181.5	-141629.9

Таблица 2

Параметры	$\alpha = 2$	2	3	3	4	4	5
$\Omega_*$	0.0674	-0.3451	0.0008	-0.3152	-0.0273	-0.3070	-0.0369
$\lambda_*$	107.234	119.089	79.536	91.482	79.575	88.613	89.015
$c_*$	0.3477	0.2491	0.3171	0.2581	0.3091	0.2673	0.3129
$A$	6110.4	646873.4	5229.0	-2047.9	15040.1	-985.3	-73027.8
$B_r$	2118.4	-86261.7	2067.0	-830.1	6871.4	-871.9	-38078.2
$B_i$	-228.6	8529.2	-267.8	773.8	-1106.7	372.6	5883.2
$D$	1874.9	265067.1	1456.6	-2220.2	6993.9	-2500.6	-46602.8
$P_r$	-2654.0	-818.1	-827.0	-419.2	-646.1	-417.0	-729.2
$P_i$	-380.5	-295.2	-198.1	-230.8	-161.2	-194.0	-197.4
$Q_r$	-758.1	78.5	-255.6	-96.3	-182.0	-66.3	-180.4
$Q_i$	-278.3	-455.0	-91.5	-129.7	-64.5	-88.5	-63.4
$R_r$	-1142.4	-112.2	-426.0	-231.7	-308.4	-164.2	-318.2
$R_i$	-499.8	-348.2	-117.8	216.9	-99.5	22.8	-110.4
$S_r$	-183.3	-177.8	-123.5	-285.2	-133.9	-251.2	-180.5
$S_i$	65.3	-633.9	31.2	229.9	11.3	-3.8	-10.9

корнями уравнения (3.9), которые являются вещественными и обеспечивают выполнение неравенств

$$z > 0, \quad |\sin \beta| < 1, \quad |\cos \beta| < 1 \quad (3.12)$$

Каждому вещественному корню уравнения (3.9), для которого неравенства (3.12) выполняются, соответствует  $J$ -связанная пара равновесий общего положения моторной подсистемы (2.5). Всего, таким образом, у моторной подсистемы может существовать не более четырех пар равновесий общего положения.

Для отыскания корней уравнения (3.9) использовались формулы Феррари.

Исследование устойчивости найденных равновесий общего положения моторной подсистемы осуществлялось с помощью первого метода Ляпунова. Для этого система (2.5) линеаризовалась на равновесии общего положения и выписывалось соответствующее характеристическое уравнение в виде равенства нулю определителя четвер-



того порядка, элементы которого зависят от  $\rho_0, \rho_1, \rho_2$  и  $\beta$ . Определитель раскрывался аналитически. В результате вопрос об устойчивости  $J$ -связанной пары равновесий общего положения (равновесия, составляющие такую пару, могут быть устойчивыми или неустойчивыми лишь одновременно) сводился к выяснению знаков вещественных частей корней полинома четвертой степени. Эти вычисления проводились по формулам Феррари.

**4. Численные результаты.** Расчет нейтральных кривых проводился методом пристрелки. Для вычисления коэффициентов амплитудной системы (2.4) использовался алгоритм, изложенный в [3, 4]. Программы, реализующие эти расчеты, были составлены на языке Турбо Паскаль. Вычисления проводились на компьютере IBM PC Pentium-100 для случая, когда радиус внешнего цилиндра в 2 раза превосходит радиус внутреннего цилиндра  $R = 2$ , полость между цилиндрами заполнена водой  $Pr = 7$  и азимутальное волновое число  $m = 1$ , при различных значениях числа Рэлея  $Ra$  и аксиального волнового числа  $\alpha$ .

Результаты расчета точек пересечения нейтральных кривых и коэффициентов амплитудной системы представлены в табл. 1 (случай  $Ra = 1$ ) и табл. 2 ( $Ra = -1$ ). Аналогичные вычисления для изотермического случая ( $Ra = 0$ ) были выполнены в [3, 4], а для проницаемых цилиндров – в [15].

Вычисления показали, что в зависимости от значений параметров задачи нейтральные кривые монотонной вращательно-симметричной и колебательной трехмерной потери устойчивости неизотермического течения Куэтта (1.5) могут вообще не иметь точек пересечения, а могут пересекаться в одной или нескольких точках. Основное качественное отличие от изотермического случая состоит в том, что при подогреве внутреннего цилиндра ( $Ra < 0$ ) нейтральные кривые могут пересекаться не только, когда цилиндры вращаются в разные стороны, но и когда они вращаются в одну сторону.

При достаточно больших отрицательных градиентах температуры  $Ra < 0$  и достаточно больших аксиальных волновых числах  $\alpha$  нейтральные кривые не пересекаются. Это свидетельствует о том, что при интенсивном подогреве внутреннего цилиндра коротковолновые в аксиальном направлении возмущения, порождающие вихри Тейлора и азимутальные волны, не взаимодействуют. Следовательно, при соответствующих значениях параметров задачи трудно ожидать возникновения сложных режимов движения жидкости. Напротив, при подогреве внешнего цилиндра ( $Ra > 0$ ) точки пересечения нейтральных кривых существуют (по крайней мере, при не слишком больших  $\alpha$ ), а значит, вблизи них нелинейное взаимодействие тейлоровской и азимутальных мод может приводить к возникновению сложных режимов.

На фигуре изображена схема переходов, связанных с бифуркациями равновесий моторной подсистемы (2.5) при изменении свободного параметра  $\mu_r$ , для случая  $Ra = 1$ ,  $\alpha = 4$ ,  $\Omega_* = -0.6688$ ,  $\sigma = 10$  и  $\mu_r > 0$  (значения отношения угловых скоростей цилиндров  $\Omega$  и числа Рейнольдса  $\lambda$  таковы, что точка  $(\Omega, \lambda)$  расположена выше нейтральных кривых, соответствующих как монотонной, так и колебательной потере устойчивости неизотермического течения Куэтта). Одинарными линиями нарисованы  $J$ -симметричные равновесия, двойными –  $J$ -связанные пары равновесий. Устойчивые равновесия изображены сплошными линиями, неустойчивые – штриховыми. Лежащие на инвариантных плоскостях равновесия (3.1)–(3.7) отмечены соответственно цифрами 1–7, а  $J$ -связанные пары равновесий общего положения – цифрами 8–9 (в рассматриваемом случае существует не более двух пар таких равновесий). Кружками отмечены точки, в которых от равновесий ответвляются предельные циклы – изолированные периодические решения моторной подсистемы (каждому такому решению соответствует, вообще говоря, трехчастотный квазипериодический режим движения жидкости). Бифуркационные значения параметра  $\mu_r$  представлены ниже:

$n$	0	1	2	3	4	5	6	7	8
$\mu_r^n$	0	1.39	18.24	62.72	82.12	82.60	85.38	118.75	186.29

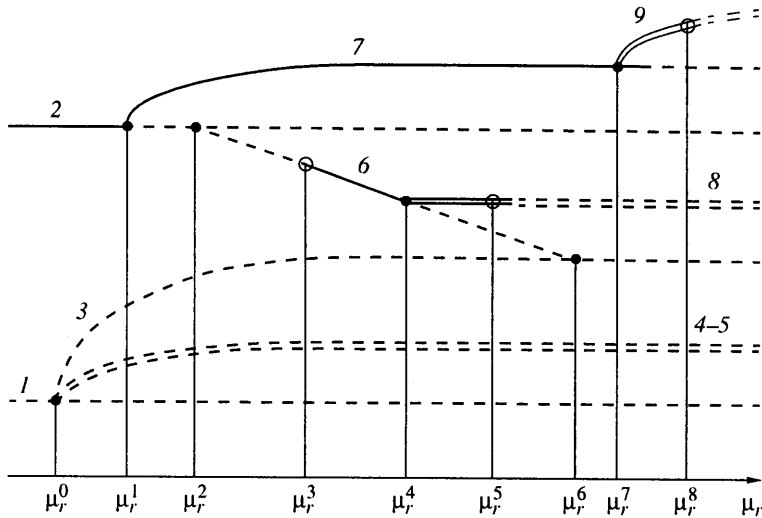


Схема бифуркаций равновесий моторной подсистемы при  $Ra = 1$ ,  $\alpha = 4$ ,  $\Omega = -0.6688$ ,  $\sigma = 10$ ,  $\mu_r > 0$ . Цифры 1–7 соответствуют равновесиям (3.1)–(3.7), а цифры 8–9 – равновесиям общего положения. Устойчивые равновесия изображены сплошными линиями, неустойчивые – штриховыми. Одинарные линии соответствуют  $J$ -симметричным равновесиям, двойные –  $J$ -связаным парам равновесий

Неизотермическое течение Куэтта (3.1) существует при любых значениях свободного параметра  $\mu_r$  и неустойчиво (так как  $\sigma > 0$ ).

Вихри Тейлора (3.2) также существуют при любых  $\mu_r$ . Они ответвляются от неизотермического течения Куэтта при  $\sigma = 0$ , поэтому данную бифуркацию изобразить на фигуре, относящейся к случаю  $\sigma = 10$ , невозможно. При  $\mu_r < 1.39$  вихри Тейлора устойчивы, а при  $\mu_r > 1.39$  неустойчивы. При  $\mu_r = 1.39$  вихри Тейлора мягко теряют устойчивость, в результате чего от них ответвляются устойчивые смешанные азимутальные волны (3.7). При  $\mu_r = 18.24$  от неустойчивых вихрей Тейлора ответвляются неустойчивые смешанные азимутальные волны (3.6).

Чистые азимутальные волны (3.3) ответвляются от неизотермического течения Куэтта (3.1) при  $\mu_r = 0$ , существуют при  $\mu_r \geq 0$  и неустойчивы. При  $\mu_r = 85.38$  на них гибнут неустойчивые смешанные азимутальные волны (3.6).

$J$ -связанная пара спиральных волн (3.4)–(3.5) ответвляется от неизотермического течения Куэтта (3.1) при  $\mu_r = 0$ , существует при  $\mu_r \geq 0$ , неустойчива и не бифурцирует.

Смешанные азимутальные волны (3.6) существуют при  $18.24 \leq \mu_r \leq 85.38$ . Они рождаются неустойчивыми при  $\mu_r = 18.24$ , ответвляясь от неустойчивых вихрей Тейлора, и гибнут неустойчивыми при  $\mu_r = 85.38$ , сливаясь с неустойчивыми чистыми азимутальными волнами. При  $18.24 \leq \mu_r < 62.72$  и при  $82.12 < \mu_r \leq 85.38$  они неустойчивы, а при  $62.72 < \mu_r < 82.12$  устойчивы. При  $\mu_r = 62.72$  они приобретают устойчивость в результате бифуркации рождения неустойчивого  $J$ -симметричного предельного цикла моторной подсистемы, который существует при  $\mu_r \geq 62.72$ . При  $\mu_r = 82.12$  смешанные азимутальные волны (3.6) опять становятся неустойчивыми в результате мягкого ответвления устойчивой  $J$ -связанной пары равновесий общего положения. Результаты расчета одного из равновесий этой пары представлены в табл. 3.

Таблица 3

$\mu_r$	$\rho_0$	$\rho_1$	$\rho_2$	$\beta$	Устойчивость
82.13	0.0099	0.1307	0.1305	0.0121	+
82.50	0.0099	0.1316	0.1302	0.0952	+
82.60	0.0100	0.1318	0.1302	0.1070	-
83.00	0.0100	0.1324	0.1302	0.1449	-
85.00	0.0101	0.1349	0.1308	0.2599	-
100	0.0110	0.1489	0.1392	0.6060	-
200	0.0156	0.2146	0.1925	1.1500	-
500	0.0248	0.3409	0.3028	1.4114	-
1000	0.0352	0.4825	0.4279	1.4953	-
5000	0.0788	1.0794	0.9567	1.5621	-
10000	0.1115	1.5266	1.3530	1.5704	-
100000	0.3526	4.8275	4.2787	1.5779	-

Таблица 4

$\mu_r$	$\rho_0$	$\rho_1$	$\rho_2$	$\beta$	Устойчивость
119	0.0708	0.1612	0.1498	3.1096	+
120	0.0706	0.1680	0.1425	3.0705	+
150	0.0673	0.2119	0.0977	2.8672	+
200	0.0660	0.2505	0.0768	2.7989	-
300	0.0660	0.3112	0.0605	2.7633	-
500	0.0678	0.4060	0.0483	2.7482	-
1000	0.0732	0.5789	0.0392	2.7422	-
5000	0.1081	1.3032	0.0378	2.7402	-
10000	0.1401	1.8446	0.0448	2.7402	-
100000	0.4032	5.8377	0.1173	2.7401	-

Смешанные азимутальные волны (3.7) существуют при  $1.39 \leq \mu_r < \infty$ . Они рождаются устойчивыми при  $\mu_r = 1.39$  в результате мягкой потери устойчивости вихрей Тейлора. При  $\mu_r = 118.75$  они теряют устойчивость в результате мягкого ответвления устойчивой  $J$ -связанной пары равновесий общего положения (см. табл. 4).

$J$ -связанная пара равновесий общего положения (табл. 3), возникающая в результате мягкой потери устойчивости смешанных азимутальных волн (3.6), существует в диапазоне  $82.12 \leq \mu_r < \infty$ , но остается устойчивой лишь вблизи точки своего возникновения. Уже при  $\mu_r = 82.6$  она теряет устойчивость в результате бифуркации рождения неустойчивой  $J$ -связанной пары предельных циклов, которая существует при  $\mu_r \leq 82.6$ .

Еще одна  $J$ -связанная пара равновесий общего положения (табл. 4), возникающая в результате мягкой потери устойчивости смешанных азимутальных волн (3.7), существует в диапазоне  $118.75 \leq \mu_r < \infty$ . При  $\mu_r = 186.29$  она теряет устойчивость в результате бифуркации рождения устойчивой  $J$ -связанной пары предельных циклов, которая существует при  $\mu_r \geq 186.29$ .

Других бифуркаций равновесий моторной подсистемы в рассматриваемом случае нет.

В диапазоне  $62.72 \leq \mu_r \leq 82.6$  одновременно существует несколько устойчивых равновесий моторной подсистемы, поэтому для значений свободного параметра  $\mu_r$ , принадлежащих данному диапазону, в экспериментах могут наблюдаться гистерезисные явления. При достаточно больших значениях  $\mu_r$  ни одно равновесие моторной

подсистемы не является устойчивым, поэтому для больших  $\mu_r$  в экспериментах следует ожидать возникновения достаточно сложных режимов движения жидкости.

Разнообразие описанных выше переходов, связанных с бифуркациями равновесий моторной подсистемы, объясняется в первую очередь тем, что для рассмотренных значений параметров задачи имеет место нелинейное взаимодействие вторичных режимов – вихрей Тейлора (3.2), чистых азимутальных волн (3.3) и пары спиральных волн (3.4), (3.5).

Если же значения свободных параметров  $\sigma$  и  $\mu_r$  таковы, что вторичные режимы не взаимодействуют, то картина переходов в моторной подсистеме становится совершенно тривиальной. Так, например, в случае, когда  $Ra = -1$ ,  $\alpha = 2$ ,  $\Omega_* = 0.0674$  и  $\sigma > 0$ , из всех равновесий моторной подсистемы существуют лишь неустойчивое неизотермическое течение Куэтта (3.1) и ответвляющиеся от него при  $\mu_r = 0$  вторичные режимы – чистые азимутальные волны (3.3) и пара спиральных волн (3.4)–(3.5), причем эти вторичные режимы существуют только при  $\mu_r \geq 0$ , неустойчивы и не бифурцируют. Столь простое поведение равновесий моторной подсистемы отнюдь не означает, что для указанных значений параметров задачи в экспериментах будет наблюдаться тривиальное поведение жидкости. Наоборот, отсутствие в рассматриваемом случае устойчивых равновесий моторной подсистемы позволяет предположить, что в экспериментах могут возникать весьма непростые режимы движения жидкости, возможно, турбулентные.

**Заключение.** Задача об исследовании движений вязкой теплопроводной жидкости вблизи пересечения бифуркаций возникновения неизотермических вихрей Тейлора и азимутальных волн между двумя нагретыми вращающимися цилиндрами сводится к изучению автономной динамической системы четвертого порядка, коэффициенты которой находятся численно, путем решения серии линейных краевых задач для систем обыкновенных дифференциальных уравнений.

Вычисления на компьютере показали, что в данной задаче нелинейное взаимодействие вторичных режимов может приводить к возникновению достаточно нетривиальной картины переходов, связанных с бифуркациями равновесий изучаемой динамической системы. Каждому такому равновесию соответствуют стационарное, периодическое или двухчастотное квазипериодическое течение жидкости. Поэтому можно ожидать, что при соответствующих значениях параметров задачи достаточно сложные и разнообразные переходы от одного режима движения жидкости к другому могут наблюдаться и в экспериментах.

Авторы благодарят В.И. Юдовича за постоянное внимание к работе.

#### СПИСОК ЛИТЕРАТУРЫ

1. Колесов В.В. Устойчивость неизотермического течения Куэтта // Изв. АН СССР. МЖГ. 1980. № 1. С. 167–170.
2. Юдович В.И. Переходы и возникновение хаоса в течениях жидкости // Аннот. докл. 6-го Всесоюз. съезда по теорет. и прикл. механике. Ташкент: Фан, 1986. 661 с.
3. Колесов В.В., Юдович В.И. Переходы в малой окрестности точек пересечения бифуркаций возникновения вихрей Тейлора и азимутальных волн. Ростов н/Д, 1995. 33 с. – Деп. в ВИНТИ 14.11.95. № 3020-B95.
4. Колесов В.В., Юдович В.И. Расчет колебательных режимов в течении Куэтта вблизи точки пересечения бифуркаций возникновения вихрей Тейлора и азимутальных волн // Изв. РАН. МЖГ. 1998. № 4. С. 81–93.
5. Ландау Л.Д., Лифшиц Е.М. Теоретическая физика. Т. 6. Гидродинамика. М.: Наука, 1986. 736 с.
6. Walowit J.A. The stability of Couette flow between rotating cylinders in the presence of a radial temperature gradient // AIChE Journal. 1966. V. 12. № 1. P. 104–109.
7. Колесов В.В. Возникновение вихрей Тейлора между нагретыми вращающимися цилиндрами // ПМТФ. 1981. № 6. С. 87–93.

8. Колесов В.В. Расчет автоколебаний, возникающих в результате потери устойчивости неизотермического течения Куэтта // Изв. АН СССР. МЖГ. 1981. № 3. С. 25–32.
9. Колесов В.В. Колебательная вращательно-симметричная потеря устойчивости неизотермического течения Куэтта // Изв. АН СССР. МЖГ. 1984. № 1. С. 76–80.
10. Колесов В.В. Возникновение плоского вторичного режима между нагретыми вращающимися цилиндрами // Изв. АН СССР. МЖГ. 1981. № 6. С. 22–27.
11. Жуков М.Ю., Колесов В.В., Цывенкова О.А. Численный анализ устойчивости неизотермического течения Куэтта // Изв. АН СССР. МЖГ. 1988. № 5. С. 70–76.
12. Chossat P., Demay Y., Iooss G. Interaction de modes azimutaux dans le probleme de Couette–Taylor // Arch. Ration. Mech. Anal. 1987. V. 99. № 3. P. 213–248.
13. Chossat P., Iooss G. Primary and secondary bifurcations in the Couette–Taylor problem // Japan. J. App. Math. 1985, V. 2. № 1. P. 37–68.
14. Chossat P., Iooss G. The Couette–Taylor problem. Berlin ets.: Springer, 1994. 233 p.
15. Kolesov V., Shapakidze L. On oscillatory modes in viscous incompressible liquid flows between two counter-rotating permeable cylinders // Trends in App. Math. to Mech. Chapman and Hall / CRC. 2000. V. 106. P. 221–227.

Ростов-на-Дону

Поступила в редакцию  
1.VI.2001